

PCT

WELTORGANISATION FÜR GEISTIGES EIGENTUM
Internationales Büro



INTERNATIONALE ANMELDUNG VERÖFFENTLICHT NACH DEM VERTRAG ÜBER DIE
INTERNATIONALE ZUSAMMENARBEIT AUF DEM GEBIET DES PATENTWESENS (PCT)

| | | |
|--|------------------|---|
| <p>(51) Internationale Patentklassifikation ⁶ : G05B 19/042</p> | <p>A1</p> | <p>(11) Internationale Veröffentlichungsnummer: WO 98/40796</p> <p>(43) Internationales Veröffentlichungsdatum: 17. September 1998 (17.09.98)</p> |
| <p>(21) Internationales Aktenzeichen: PCT/DE98/00633</p> <p>(22) Internationales Anmeldedatum: 3. März 1998 (03.03.98)</p> <p>(30) Prioritätsdaten: 197 09 956.4 11. März 1997 (11.03.97) DE</p> <p>(71) Anmelder (für alle Bestimmungsstaaten ausser US): SIEMENS AKTIONGESELLSCHAFT [DE/DE]; Wittelsbacherplatz 2, D-80333 München (DE).</p> <p>(72) Erfinder; und (75) Erfinder/Anmelder (nur für US): LIGGESMEYER, Peter [DE/DE]; Hauptstrasse 89, D-85579 Neubiberg (DE).</p> | | <p>(81) Bestimmungsstaaten: US, europäisches Patent (AT, BE, CH, DE, DK, ES, FI, FR, GB, GR, IE, IT, LU, MC, NL, PT, SE).</p> <p>Veröffentlicht <i>Mit internationalem Recherchenbericht. Vor Ablauf der für Änderungen der Ansprüche zugelassenen Frist. Veröffentlichung wird wiederholt falls Änderungen eintreffen.</i></p> |
| <p>(54) Title: METHOD FOR COMPUTER-ASSISTED ERROR CHECKING OF SENSORS AND/OR ACTORS IN TECHNICAL SYSTEMS</p> <p>(54) Bezeichnung: VERFAHREN ZUR RECHNERGESTÜTZTEN FEHLERANALYSE VON SENSOREN UND/ODER AKTOREN IN EINEM TECHNISCHEN SYSTEM</p> <div data-bbox="349 1249 1242 1690"><p>A... REPRESENTATION U-W GRAPH (EXT. ERROR TREE)</p></div> <p>(57) Abstract</p> <p>Disclosed is a method wherein a state description of the technical system for an error occurrence and a state description of the technical system for error-free operation is determined in order to detect sensor and/or actor errors. The attainable states for both descriptions are preferably determined by model checking. A varying number of states of both descriptions is formed, said states being checked as to whether they comply with predeterminable conditions (e.g. safety requirements).</p> | | |

(57) Zusammenfassung

Es wird ein Verfahren vorgeschlagen, bei dem für einen Fehler eines Sensors und/oder eines Aktors eine zustandsendliche Beschreibung des technischen Systems für den Fehlerfall und eine zustandsendliche Beschreibung des technischen Systems für den fehlerfreien Fall ermittelt wird. Für beide Beschreibungen werden jeweils die erreichbaren Zustände vorzugsweise mittels Model Checking ermittelt. Es wird eine Differenzmenge von Zuständen der beiden Beschreibungen gebildet, für deren Zustände überprüft wird, ob diese Zustände vorgebbaren Bedingungen genügen (z.B. Sicherheitsbedingungen).

LEDIGLICH ZUR INFORMATION

Codes zur Identifizierung von PCT-Vertragsstaaten auf den Kopfbögen der Schriften, die internationale Anmeldungen gemäss dem PCT veröffentlichen.

| | | | | | | | |
|----|------------------------------|----|-----------------------------------|----|---|----|--------------------------------|
| AL | Albanien | ES | Spanien | LS | Lesotho | SI | Slowenien |
| AM | Armenien | FI | Finnland | LT | Litauen | SK | Slowakei |
| AT | Österreich | FR | Frankreich | LU | Luxemburg | SN | Senegal |
| AU | Australien | GA | Gabun | LV | Lettland | SZ | Swasiland |
| AZ | Aserbaidshan | GB | Vereinigtes Königreich | MC | Monaco | TD | Tschad |
| BA | Bosnien-Herzegowina | GE | Georgien | MD | Republik Moldau | TG | Togo |
| BB | Barbados | GH | Ghana | MG | Madagaskar | TJ | Tadschikistan |
| BE | Belgien | GN | Guinea | MK | Die ehemalige jugoslawische Republik Mazedonien | TM | Turkmenistan |
| BF | Burkina Faso | GR | Griechenland | | | TR | Türkei |
| BG | Bulgarien | HU | Ungarn | ML | Mali | TT | Trinidad und Tobago |
| BJ | Benin | IE | Irland | MN | Mongolei | UA | Ukraine |
| BR | Brasilien | IL | Israel | MR | Mauretanien | UG | Uganda |
| BY | Belarus | IS | Island | MW | Malawi | US | Vereinigte Staaten von Amerika |
| CA | Kanada | IT | Italien | MX | Mexiko | | |
| CF | Zentralafrikanische Republik | JP | Japan | NE | Niger | UZ | Usbekistan |
| CG | Kongo | KE | Kenia | NL | Niederlande | VN | Vietnam |
| CH | Schweiz | KG | Kirgisistan | NO | Norwegen | YU | Jugoslawien |
| CI | Côte d'Ivoire | KP | Demokratische Volksrepublik Korea | NZ | Neuseeland | ZW | Zimbabwe |
| CM | Kamerun | | | PL | Polen | | |
| CN | China | KR | Republik Korea | PT | Portugal | | |
| CU | Kuba | KZ | Kasachstan | RO | Rumänien | | |
| CZ | Tschechische Republik | LC | St. Lucia | RU | Russische Föderation | | |
| DE | Deutschland | LI | Liechtenstein | SD | Sudan | | |
| DK | Dänemark | LK | Sri Lanka | SE | Schweden | | |
| EE | Estland | LR | Liberia | SG | Singapur | | |

Beschreibung

Verfahren zur rechnergestützten Fehleranalyse von Sensoren und/oder Aktoren in einem technischen System

5

Für komplexe technische Systeme oder Anlagen ist es von enormer Bedeutung, Aussagen über die Zuverlässigkeit des jeweiligen Systems bzw. der Anlage treffen zu können.

- 10 Es ist bekannt, daß Aussagen über die Zuverlässigkeit eines beliebigen technischen Systems bzw. einer Anlage manuell, beispielsweise durch eine sog. Fehlerbaumanalyse (vgl. [1]), oder simulativ bzw. analytisch auf Basis von speziell zu diesem Zweck erstellten Modellen (vgl. [2]) erzeugt werden können.
- 15 Zur einfacheren Darstellung wird im weiteren nur noch von technischen Systemen gesprochen. Technische Anlagen sind im Rahmen dieses Dokuments jedoch in dem Begriff des technischen Systems umfaßt. Eine vollständige manuelle Ermittlung der Auswirkungen eines technischen Fehlverhaltens von Sensoren und/oder Aktoren, ist in einem komplexen technischen System aufgrund der vernetzten Abhängigkeiten und der unterschiedlichen Realisierungsformen der Steuerung, des gesteuerten Systems und der Sensorik und/oder Aktorik praktisch nicht möglich. Die in [2] beschriebenen analytischen Techniken erfordern die Erstellung eines speziellen Modells, für das im
- 20 allgemeinen nicht garantiert werden kann, daß es das jeweils betrachtete System korrekt beschreibt. Dadurch wird natürlich die Qualität der Aussagen erheblich reduziert. Ferner ist ein erheblicher Nachteil der in [2] beschriebenen Ansätze, daß
- 25 die Modellerstellung zusätzlichen Entwicklungsaufwand und Zeit erfordert. Dadurch wird eine kurzfristige Untersuchung alternativer Realisierungen eines technischen Systems, was auch als Rapid Prototyping bezeichnet wird, verhindert.

- 35 Es ist bekannt, ein technisches System in einer zustandsendlichen Beschreibung, z.B. als Automat, zu beschreiben. Eine zustandsendliche Beschreibung weist üblicherweise Zustände

auf, in denen Aktionen durchgeführt werden, wenn sich das technische System in dem jeweiligen Zustand befindet. Ferner weist die zustandsendliche Beschreibung üblicherweise Zustandsübergänge auf, die mögliche Wechsel des technischen Systems zwischen Zuständen beschreiben. Auch bei Zustandsübergängen kann das technische System Aktionen durchführen. In einem gesteuerten technischen System ist es in diesem Zusammenhang bekannt, die zustandsendliche Beschreibung derart auszugestalten, daß das Verhalten der Steuerung des technischen Systems und das Verhalten der gesteuerten Anlage als Zustandsautomat dargestellt wird. Auch ist bei diesen Ansätzen nicht sichergestellt, daß alle möglichen Fehlerauswirkungen auf das System korrekt ermittelt werden.

Möglichkeiten zur textuellen Beschreibung eines Zustandsautomaten, die mit einem Rechner verarbeitet wird, sind z.B. Interlocking Specification Language (ISL) oder Control Specification Language (CSL), die in [3] beschrieben sind.

Es ist ferner bekannt, eine zustandsendliche Beschreibung für die Generierung von Steuerungen durch einen Rechner und für den rechnergestützten Nachweis von Eigenschaften eines fehlerfreien technischen Systems zu verwenden.

Eine Möglichkeit zum rechnergestützten Nachweis von Eigenschaften eines fehlerfreien technischen Systems verwendet das Prinzip des sog. Model Checkings, das in [4] beschrieben ist.

Ferner ist es bekannt zur zustandsendlichen Beschreibung eines Systems ein sogenanntes Finite State Machine-Format (FSM-Format) zu verwenden, deren Grundlagen in [5] beschrieben sind. Binary Decision Diagrams (BDD) besitzen den Vorteil, in vielen Fällen auch sehr umfangreiche Zustandssysteme kompakt zu repräsentieren.

35

Somit liegt der Erfindung das Problem zugrunde, ein Verfahren zur rechnergestützten Fehleranalyse von Sensoren und/oder Ak-

toren in einem technischen System anzugeben, mit dem die Korrektheit der Fehleranalyse gewährleistet wird.

Das Problem wird durch das Verfahren mit den Merkmalen des
5 Patentanspruchs 1 gelöst.

Das Verfahren wird mit einem Rechner durchgeführt und umfaßt folgende Schritte:

- 10 a) für einen Fehler eines Sensors und/oder eines Aktors des Systems wird eine zustandsendliche Beschreibung des technischen Systems für den Fehlerfall ermittelt,
- b) für das technische System wird eine erste Menge erreichbarer Zustände ermittelt,
- 15 c) für das fehlerbehaftete technische System wird eine zweite Menge erreichbarer Zustände ermittelt,
- d) es wird eine Differenzmenge aus der ersten Menge und der zweiten Menge gebildet,
- e) es werden Ergebniszustände aus der Differenzmenge ermittelt, die vorgebbaren Bedingungen genügen.

20

Anschaulich kann die Erfindung dadurch beschrieben werden, daß ein Model Checking sowohl für das fehlerfreie technische System als auch ein mit einem Fehler eines Sensors und/oder Aktors behafteten System durchgeführt wird. Durch das Model
25 Checking werden alle erreichbaren Zustände des fehlerfreien bzw. des fehlerbehafteten Systems ermittelt. Aus diesen Zuständen wird eine Differenzmenge von Zuständen gebildet. Für die Differenzmenge werden die Zustände der Differenzmenge ermittelt, die einer vorgebbaren Bedingung genügen, z.B. einer
30 Sicherheitsanforderung an das System. Diese Zustände stellen für den jeweils untersuchten Fehlerfall einen „gefährlichen“ Zustand bzgl. der vorgebbaren Bedingung dar.

Durch das Verfahren wird gewährleistet, daß alle für den
35 jeweils untersuchten Fehlerfall, d.h. für den fehlerhaften Sensor und/oder Aktor, hinsichtlich vorgegebbarer Bedingungen „gefährliche“ Zustände ermittelt werden.

Vorteilhafte Weiterbildungen der Erfindung ergeben sich aus den abhängigen Ansprüchen.

- 5 Es ist vorteilhaft, das Verfahren für alle möglichen Fehler von Sensoren und/oder Aktoren, die das technische System aufweist, durchzuführen. Auf diese Weise wird für das gesamte System gewährleistet, daß hinsichtlich vorgegebbarer Bedingungen alle „gefährlichen“ Zustände ermittelt werden.

10

- Ferner ist es vorteilhaft, den Sensoren und/oder Aktoren Ausfallwahrscheinlichkeiten zuzuordnen und die Fehleranalyse unter Berücksichtigung der Ausfallwahrscheinlichkeiten durchzuführen. Auf diese Weise wird es ohne größeren Rechenaufwand bei der Durchführung des Verfahrens mit einem Rechner möglich, für die ermittelten Zustände anzugeben, mit welcher Wahrscheinlichkeit dieser Zustand tatsächlich erreicht wird, womit eine Risikoabschätzung für das jeweils analysierte System sehr einfach und anschaulich möglich wird.

15

- Weiterhin ist es zur weiteren Rechenzeiteinsparung bei der Durchführung des Verfahrens mit einem Rechner vorteilhaft, die zustandsendliche Beschreibung durch einen endlichen Automaten in Form eines Binary Decision Diagrams (BDD) zu realisieren.

20

Das Verfahren kann durch die oben Beschriebenen Eigenschaften sehr vorteilhaft in folgenden Gebieten Verwendung finden:

- beim Rapid Prototyping des technischen Systems.
- 30 - im Rahmen der Fehlerdiagnose des technischen Systems.
- zur Generierung kritischer Prüffälle für eine Inbetriebsetzung und einen Systemtest des technischen Systems.
- zur präventiven Wartung des technischen Systems.

- 35 In den Figuren ist ein Ausführungsbeispiel der Erfindung dargestellt, welches im weiteren näher erläutert wird.

Es zeigen

- Figur 1 ein skizzenhafte Darstellung des Verfahrens;
Figur 2 eine Skizze einer zustandsendlichen Beschreibung
5 einer Steuerung und des durch die Steuerung
gesteuerten Prozesses eines technischen Systems,
wobei die fehlerfreie Steuerung und der Prozeß
jeweils als ein eigener Zustandsautomat beschrieben
sind;
Figur 3 eine Skizze der zustandsendlichen Beschreibung aus
10 Figur 1 mit einem symbolisch dargestellten allge-
meinen Sensorfehlermodell und Aktorfehlermodell;
Figur 4 eine Skizze der zustandsendlichen Beschreibung aus
Figur 1 mit einem symbolisch dargestellten nicht-
persistenten Fehler eines Sensors;
15 Figur 5 eine Skizze der zustandsendlichen Beschreibung aus
Figur 1 mit dem Fehler aus Figur 4, wobei als Er-
satz
des Fehlermodells die Steuerung modifiziert wurde;
Figur 6 eine Skizze einer Draufsicht des Ausführungsbei-
20 spiels, einem Hubdrehtisch einer Fertigungszelle;
Figur 7 eine Skizze, in der die vorgesehene Bewegung des
Hubdrehtischs aus Figur 6 dargestellt ist;
Figur 8 eine Skizze des Zustandsraums des fehlerfreien
Hubdrehtischs;
25 Figur 9 eine Skizze des Zustandsraums eines fehlerbehafteten
Hubdrehtisch;

Eine geeignete zustandsendliche Beschreibung stellt das Ver-
halten der Steuerung und das Verhalten der gesteuerten Anlage
30 als Zustandsautomat dar. Die Darstellung kann auf unter-
schiedliche Weise, z.B. in textueller Form unter Verwendung
von ISL oder CSL, erfolgen.

In Figur 2 ist ein einfaches technisches System mit einer
35 fehlerfreien Steuerung FS, Zuständen y_1 , y_2 , y_3 und Zu-
standsübergängen x_1 , x_2 als Zustandsautomat dargestellt. Die
Steuerung S beschreibt als Zustände Aktoren. Ein gesteuerter

Prozeß P enthält die Beschreibung von Sensoren x_1, x_2, x_3 als Zustände x_1, x_2, x_3 und Zustandsübergänge y_1, y_2, y_3 .

Die Steuerung S des Systems reagiert auf Meßwerte x_j (x_1, x_2, x_3) von Sensoren X. Somit werden durch Sensordaten daher in der Steuerung S Zustandsübergänge ausgelöst. Die Zustände sind durch Werte y_i (y_1, y_2, y_3) von Zustandsvariablen Y charakterisiert, die Aktoren zugeordnet sind. Das Stellen von Aktoren Y löst wiederum Zustandsübergänge in der gesteuerten Anlage, d.h. in dem Prozeß P aus, was sich in einer Modifikation der Werte der Sensoren X äußert.

Die Zustandsautomaten der Steuerung S und des Prozesses P führen alternierend Zustandsübergänge durch. Die Ausgaben des einen Automaten sind die Eingaben des jeweils anderen Automaten.

Die Schnittstelle zwischen Steuerung und gesteuerter Umgebung kann in einer entsprechenden Beschreibung automatisch erkannt werden. Ferner ist es möglich, wie im weiterem detailliert beschrieben wird, einer derartigen Beschreibung den Wertevorrat zu entnehmen, den die einzelnen Werte (Zustände bzw. Zustandsübergänge) annehmen können.

In Figur 3 ist symbolisch eine Fehlermodellierung für fehlerhafte Sensoren in einem Sensorfehlermodell SF und für fehlerhafte Aktoren in einem Aktorfehlermodell AF dargestellt.

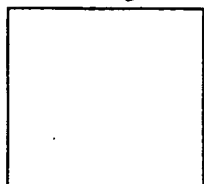
Technisch sind also an der Schnittstelle zwischen Steuerung S und gesteuertem Prozeß P Sensoren X und Aktoren Y angeschlossen. Ein Fehlverhalten eines Sensors X führt dazu, daß anstelle des korrekten Meßwerts x_j ein anderer, fehlerhafter Wert x'_j an die Steuerung S geliefert wird, d.h. der Steuerung S zugeführt wird. Ein Fehlverhalten eines Aktors äußert sich im Einstellen eines falschen Werts y'_i anstelle des Werts y_i . Welche Sensoren X und Aktoren Y vorhanden sind und

welcher Wertevorrat hier zu berücksichtigen ist, kann der zustandsendlichen Beschreibung entnommen werden.

Dies gestattet die automatisierte, systematische Analyse der Auswirkungen von Sensor- und Aktorfehlern auf das Verhalten eines gesteuerten Systems. Zwischen den gesteuerten Prozeß P und die Steuerung S werden Sensorfehlermodelle SF bzw. Aktorfehlermodelle AF geschaltet, die den jeweiligen Fehler des Sensors x und/oder Aktors y beschreiben. In der Figur 3 sind beispielhaft Modelle für intermittierende (nicht persistente) Einzelfehler der Sensorik und Aktorik angegeben.

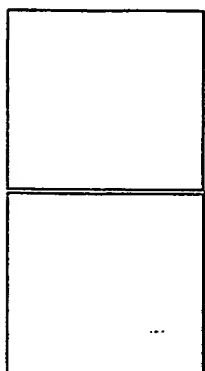
Ein nichtpersistenter Einzelfehler eines Sensors x wird beschrieben durch folgende Vorschrift:

$$x_j' = x_j \mid j \neq n \text{ (fehlerfreie Werte)}$$



(fehlerhafter Wert).

Ein nichtpersistenter Einzelfehler eines Aktors y wird beschrieben durch folgende Vorschrift:



(fehlerfreie Werte)

(fehlerhafter Wert).

Figur 4 zeigt das allgemeine Sensorfehlermodell SF aus Figur 3 für den Fall, daß ein nichtpersistenter Einzelfehler bei einem ersten Sensorwert x_1 vorliegt derart, daß der erste Sensorwert x_1 entweder den korrekten ersten Sensorwert x_1 oder aufgrund eines Sensorfehlers einen zweiten Sensorwert x_2

aufweist, der in diesem Fall ein fehlerhafter Wert wäre. Der zweite Sensorwert x_2 und ein dritter Sensorwert x_3 werden korrekt gemessen.

- 5 Eine wichtige Frage, die es zu beantworten gilt, ist nun, ob die Kombination aus Steuerung S und gesteuerten Prozeß P aufgrund des Sensorfehlers in kritische Zustände gelangen kann, die im fehlerfreien Fall sicher ausgeschlossen werden konnten.

10

Eine Möglichkeit, diesen Nachweis für den fehlerfreien Fall zu erbringen, bietet das sogenannte Model Checking, welches in [4] beschrieben ist. Dieses Verfahren gestattet es, die Menge der erreichbaren Zustände zu ermitteln und zu untersuchen, ob Zustände enthalten sind, die z.B. Sicherheitsbedingungen verletzen.

15

- Um diese Technik zur Fehleranalyse von in dem System enthaltenen Sensoren X und/oder Aktoren Y anwenden zu können, werden hier die Sensorfehlermodelle SF bzw. Aktorfehlermodelle AF durch eine geänderte Steuerungslogik beschrieben (vgl. Figur 5).

20

- Die in Figur 5 dargestellte Kombination aus Steuerung S und gesteuertem Prozeß P verhält sich identisch zu dem in Figur 4 dargestellten Modell für den Fehlerfall bei dem ersten Sensorwert x_1 . Es kann hier jedoch auf den Einschub eines expliziten Fehlermodells zwischen Steuerung S und gesteuertem Prozeß P verzichtet werden. Aufgrund des angenommenen intermittierenden Fehlers werden in der Steuerung mit x_1 indizierte Zustandsübergänge parallel zu den mit x_2 markierten Zustandsübergängen hinzugefügt.

25

30

- Damit wird der folgende Sachverhalt beschrieben:
Der zweite Sensorwert x_2 und der dritte Sensorwert x_3 werden korrekt gemessen. Daher ist das Steuerungsverhalten für diese Werte unmodifiziert. Da ein intermittierender Fehler angenommen

35

men wird, kann auch der erste Sensorwert x_1 korrekt gemeldet werden, so daß diese Zustandsübergänge erhalten bleiben. Würde eine persistente Vertauschung von dem ersten Sensorwert x_1 mit dem zweiten Sensorwert x_2 angenommen, so müßten mit x_1 beschriftete Kanten gelöscht werden. Alle Zustandsübergänge die mit x_2 markiert sind, können nun auch beim Wert x_1 durchlaufen werden. Daher wird eine entsprechende Kante in der Steuerung S ergänzt. Die Steuerung S reagiert auf den Wert x_2 , aber an der Stelle x_1 des Prozesses.

10

Diese Modifikation der Steuerungslogik zur Beschreibung von Fehlern kann formal für alle betrachtbaren Fehler automatisch durch den Rechner durchgeführt werden.

15

Für die entstehenden Modelle können die Fragen nach der Erreichbarkeit von kritischen Zuständen (z.B. Sicherheit, Verklemmungen) ebenfalls durch Anwendung des Model Checkings beantwortet werden. Es erfolgt also eine automatische Ermittlung der im fehlerbehafteten System erreichbaren Zustände vorzugsweise unter Verwendung des Model Checkings.

20

Anschließend wird jeweils eine Differenzmenge der im jeweiligen Fehlerfall erreichbaren Zustände und der im fehlerfreien Fall erreichbaren Zustände ermittelt.

25

Aus der Differenzmenge werden jene Zustände ermittelt, die mindestens einer vom Benutzer vorgebbaren Bedingung (z.B. Verletzung einer Sicherheitsanforderung) genügen bzw. diese verletzen, je nach Anwendung.

30

In Figur 1 ist diese Vorgehensweise noch einmal in einem Blockschaltbild symbolisch dargestellt. Für die Steuerung FS und den gesteuerten Prozeß P wird mindestens ein Sensorfehlermodell SF und/oder mindestens ein Aktorfehlermodell AF erstellt, unter deren Berücksichtigung eine formale Analyse der zustandsendlichen Beschreibung für das fehlerbehaftete System vorzugsweise durch Model Checking erfolgt.

35

Für das Ergebnis des Vergleichs mit dem fehlerfreien System und der Ermittlung „gefährlicher“ Zustände werden die Ursache-Wirkungs-Zusammenhänge zwischen Sensor- bzw. Aktorfehlern und dem möglichen Eintritt der betrachteten Wirkung ermittelt und vorzugsweise in einem Ursache-Wirkungs-Graph dargestellt.

In Figur 6 ist ein technisches System in Form eines Hubdrehtischen HD einer Fertigungszelle FZ dargestellt, mit dem das Verfahren noch detaillierter dargestellt werden soll.

Die Fertigungszelle FZ weist ein zuführendes Förderband FB, an dessen Ende ein Hubdrehtisch Werkstücke WS aufnimmt und einem Roboter R zuführt. Der Roboter R legt das Werkstück WS in eine Presse PR und gibt es nach dem Formen auf ein wegführendes Band WB. Die Fertigungszelle FZ enthält entsprechende Sensoren X und Aktoren Y.

Der Hubdrehtisch HD kann sich mit Hilfe zweier Antriebe (nicht dargestellt) in vertikaler (vmov) und horizontaler (hmov) Richtung bewegen. Jeder Antrieb kann in negative (minus) oder positive (plus) Richtung angesteuert werden oder stillstehen (stop).

Der Hubdrehtisch HD verfügt über Sensoren X zur vertikalen (vpos) und horizontalen (hpos) Positionserfassung, die die Positionen x0 (unten), x1 (mitte) und x2 (oben) unterscheiden können. Zusätzlich erfaßt ein weiterer Sensor (part_on_table) (nicht dargestellt) das Vorhandensein eines Werkstücks WS auf dem Hubdrehtisch HD.

Die Ausgangsposition AP des Hubdrehtischen HD ist am unteren, linken Anschlag (x0,x0) ohne Werkstück WS (vgl. Figur 7). Falls ein Werkstück WS vom zuführenden Förderband FB auf den Hubdrehtisch HD fällt, so ist die Zielposition ZP des Hubdrehtischen HD oben rechts (x2, x2).

Der Hubdrehtisch HD darf niemals eine andere horizontale Position als x0 (linker Anschlag) in Kombination mit der vertikalen Position x0 (unten) einnehmen, da er sonst mit dem zuführenden Förderband FB kollidieren würde (verbotener Bereich VB).

Im weiteren ist eine Beschreibung des Zustandsautomaten der Steuerung FS des Hubdrehtisches HD in CSL angegeben:

```

10  CSLxtClasses table
    Types
        bool          = [nein, ja];
        posType       = [x0, x1, x2];
        movType       = [stop, plus, minus] ;
15
    Class pcd

    StateVariables
        input  vpos          : posType default x0;
20    input  hpos          : posType default x0;
        input  part_on_table : bool    default nein;
        output vmov: movType default stop;
        output hmov: movType default stop;

25    Transitions
        start_up  := (part_on_table = ja /\ vpos = x0)
                    ==> (** vmov = plus);
        rotate    := (part_on_table = ja /\ vpos = x1 /\ hpos < x2)
                    ==> (** hmov = plus);
30    stophigh   := (part_on_table = ja /\ vpos = x2)
                    ==> (** vmov = stop);
        stop45    := (part_on_table = ja /\ hpos = x2)
                    ==> (** hmov = stop);
        rotate_back := (part_on_table = nein /\ vpos = x2 /\
35    /\ hpos = x2) ==> (** hmov = minus);
        start_down := (part_on_table = nein /\ hpos = x0 /\
                    /\ vpos = x2) ==> (** hmov = stop /\

```


12

```

/\ ** vmov = minus);
stoplow := (part_on_table = nein /\ vpos = x0)
==> (** vmov = stop);

```

```

5   End /* Class pcd_controll*/
   End table
   CSLInstances i
       table : pcd;
   End i

```

10

Die oben angegebene Beschreibung in CSL legt die Steuerungslogik des Hubdrehtischs HD fest. Der Kopf der CSL-Beschreibung vereinbart Datentypen (Wertebereiche) der Zustandsvariablen. Die anschließende Deklaration der Zustandsvariablen nutzt diese Typvereinbarungen und legt zusätzlich Anfangswerte fest. Anhand der Vereinbarung von Zustandsvariablen als Input oder Output kann festgestellt werden, ob es sich um eine Zustandsvariable handelt, die den Prozeßzustand darstellt oder ob sie Zustände der Steuerung FS kodiert. Inputvariablen der Steuerung FS kodieren Prozeßzustände. Outputvariablen der Steuerung FS kodieren Steuerungszustände. Die Zeile „input vpos: postType default x0“ deklariert eine Zustandsvariable mit Namen „vpos“, die die Werte x0, x1 und x2 (die Werte des Typs postType) annehmen kann und deren Anfangswert x0 ist.

Die Transitionen (Transitions) dienen zur Beschreibung der Steuerungslogik. Transitionen werden ausgelöst durch Wertekombinationen der Inputvariablen der Steuerung FS, die Prozeßzustände darstellen - also die Position des Hubdrehtischs HD in der vertikalen (vpos) und der horizontalen (hpos) Bewegungsrichtung und das Vorhandensein eines Werkstücks WS auf dem Hubdrehtisch HD (part_on_table). Die Werte der Outputvariablen vmov und hmov werden durch die Transitionen, die die Steuerungslogik implementieren, modifiziert. Sie beschreiben die Zustände der Steuerung. Ihre Werte werden allein durch

Zustandsübergänge der Steuerung, also durch die der Steuerung eingeprägte Logik modifiziert.

5 Diese Informationen können aus der CSL-Beschreibung automatisch entnommen werden. Es kann zwischen Eingaben der Steuerung (Inputs, Sensordaten) und Ausgaben der Steuerung (Outputs: Aktorkommandos) unterschieden werden. Außerdem sind die jeweils möglichen Werte erkennbar (Typdeklarationen).

10 Die Informationen bleiben im wesentlichen auch nach der Übersetzung der CSL-Beschreibung in das sogenannte Finite State Machine-Format (FSM-Format) erhalten. Dieses FSM-Format repräsentiert die zustandsendliche Beschreibung in Form sogenannter Binary Decision Diagrams (BDD), die den Vorteil be-
15 sitzen, in vielen Fällen auch sehr umfangreiche Zustandssysteme kompakt zu repräsentieren. Eine Übersicht über Binary Decision Diagrams (BDD) ist in [5] beschrieben.

Ein Prozeßmodell zur Beschreibung der Reaktionen des gesteuerten Prozesses ist ergänzend zur in CSL beschriebenen Steuerungslogik erforderlich, um z.B. Aussagen über die Menge der erreichbaren Zustände zu ermöglichen. Dies kann im Rahmen des Model Checkings mit Hilfe sogenannter Assumptions, erfolgen. Da das Model Checking auch im Rahmen der formalen Verifikation der fehlerfreien Steuerung üblicherweise verwendet wird,
20 25 sind diese Assumptions üblicherweise bereits vorhanden und können im Rahmen dieser Analyse erneut verwendet werden.

Mit den Assumptions wird beschrieben, wie sich die Positionen des Hubdrehtisches HD und das Vorhandensein eines Werkstücks
30 WS in Abhängigkeit der Bewegungsrichtung und der aktuellen Position verändern können. Die unten dargestellte Assumption ('table.vmov' = stop /\ 'table.vpos' = x0) /\
x('table.vpos' = x0) stellt dar, daß, falls die vertikale Bewegung gestoppt ist und die aktuelle vertikale Position unten
35 (x0) ist, auch im nächsten Zustand die vertikale Position x0 ist. Dieser Assumption liegt der Sachverhalt zugrunde, daß

sich Positionen nicht ändern, falls keine Bewegung stattfindet.

Im weiteren sind mögliche Assumptions, d.h. Bedingungen für
5 die oben beschriebene Steuerung FS beschrieben:

```

process:=g (((('table.vmov' = stop /\ 'table.vpos' = x0) /\
  /\ x('table.vpos' = x0) \/ ('table.vmov' = stop /\
  /\ 'table.vpos' = x1) /\ x('table.vpos' = x1)
10  \/ ('table.vmov' = stop /\ 'table.vpos' = x2) /\
  /\ x('table.vpos' = x2)
  \/ ('table.vmov' = plus /\ 'table.vpos' = x0) /\
  /\ x('table.vpos' = x0 \/ 'table.vpos' = x1) \/
  \/ ('table.vmov' = plus /\ 'table.vpos' = x1) /\
15  /\ x('table.vpos' = x1 \/ 'table.vpos' = x2) \/
  \/ ('table.vmov' = plus /\ 'table.vpos' = x2) /\
  /\ x('table.vpos' = x2) \/ ('table.vmov' = minus /\
  /\ 'table.vpos' = x0) /\ x('table.vpos' = x0) \/
  \/ ('table.vmov' = minus /\ 'table.vpos' = x1) /\
20  /\ x('table.vpos' = x0 \/ 'table.vpos' = x1) \/
  \/ ('table.vmov' = minus /\ 'table.vpos' = x2) /\
  /\ x('table.vpos' = x1 \/ 'table.vpos' = x2)) /\
  /\ (('table.hmov' = stop /\ 'table.hpos' = x0) /\
  /\ x('table.hpos' = x0) \/ ('table.hmov' = stop /\
25  /\ 'table.hpos' = x1) /\ x('table.hpos' = x1) \/
  \/ ('table.hmov' = stop /\ 'table.hpos' = x2) /\
  /\ x('table.hpos' = x2) \/ ('table.hmov' = plus /\
  /\ 'table.hpos' = x0) /\ x('table.hpos' = x0) \/
  \/ 'table.hpos' = x1) \/ ('table.hmov' = plus
30  /\ 'table.hpos' = x1) /\ x('table.hpos' = x1) \/
  \/ 'table.hpos' = x2) \/ ('table.hmov' = plus /\
  /\ 'table.hpos' = x2) /\ x('table.hpos' = x2) \/
  \/ ('table.hmov' = minus /\ 'table.hpos' = x0) /\
  /\ x('table.hpos' = x0) \/ ('table.hmov' = minus /\
35  /\ 'table.hpos' = x1) /\ x('table.hpos' = x0) \/
  \/ 'table.hpos' = x1) \/ ('table.hmov' = minus /\
  /\ 'table.hpos' = x2) /\ x('table.hpos' = x1) \/>

```


15

```

    \/ 'table.hpos' = x2)) /\ (('table.vpos' = x0 /\
    /\ 'table.hpos' = x0 /\ 'table.vmov' = stop /\
    /\ 'table.hmov' = stop /\
    /\ 'table.part_on_table' = nein /\
5   /\ x('table.part_on_table' = ja)) \/
    \/ ('table.vpos' = x2 /\ 'table.hpos' = x2 /\
    /\ 'table.vmov' = stop /\ 'table.hmov' = stop /\
    /\ 'table.part_on_table' = ja /\
    /\ x('table.part_on_table' = nein)) \/
10  \/ ('table.part_on_table' = ja /\
    /\ x('table.part_on_table' = ja)) \/
    \/ ('table.part_on_table' = nein /\
    /\ x('table.part_on_table' = nein))))).

```

15 In Figur 8 ist ein Zustandsraum ZR des Hubdrehtischs HD und die Bewegung des fehlerfreien Hubdrehtischs HD im Zustandsraum ZR dargestellt, wie er sich nach Durchführung des Model Checkings auf die zustandsendliche Beschreibung der fehlerfreien Steuerung FS mit den angegebenen Assumptions ergibt.

20

In den Zeilen ist jeweils ein Wertepaar für das Tripel der Variablen (vpos, hpos, part_on_table) dargestellt. In den Spalten ist jeweils ein Wertepaar für das Tupel der Variablen (vmov, hmov) mit den jeweils oben definierten Wertemengen

25 dargestellt.

Schraffiert Kreise in dem Zustandsraum ZR markieren hinsichtlich der Sicherheitsbedingung „verbotene“ bzw. „gefährliche“ Zustände. Fett markierte Kreise in dem Zustandsraum ZR markieren Zustände, die der Hubdrehtisch HD gemäß der oben angegebenen Beschreibung annehmen kann. Diese wurden durch das Model Checking ermittelt. Durch Pfeile sind Zustandsübergänge in dem Zustandsraum ZR angedeutet.

35 In Figur 9 ist der Zustandsraum ZR des Hubdrehtischs HD und die Bewegung des Hubdrehtischs HD im Zustandsraum ZR dargestellt, falls der Sensor 'part_on_table' fehlerhafterweise

ein Werkstück WS meldet. In Figur 9 werden die gleichen Bezeichnungen verwendet wie in Figur 8. Es ist deutlich zu erkennen, daß für diesen Fehlerfall Zustände auftreten können, die im fehlerfreien System nicht erreichbar sind. Diese Zustände sind in Figur 9 mit VZ bezeichnet.

Den einzelnen Sensoren x und/oder Aktoren y werden Ausfallwahrscheinlichkeiten zugeordnet, die jeweils die Wahrscheinlichkeit für das Auftreten eines Fehlers bei dem Sensor x bzw. Aktor y beschreiben. Durch Verknüpfung von Verbundwahrscheinlichkeiten für das Auftreten von Fehlern verschiedener Sensoren und/oder Aktoren und für das Auftreten verschiedener Zustände kann durch diese Vorgehensweise eine sehr einfache Risikoabschätzung für das technische System erfolgen. Details zur Berechnung abhängiger Wahrscheinlichkeiten in Fehlerbäumen sind in [1] zu finden.

Somit erfolgt die Fehleranalyse unter Berücksichtigung der Ausfallwahrscheinlichkeiten.

Das Verfahren wird vorzugsweise für alle möglichen Fehler der vorhandenen Sensoren und/oder Aktoren durchgeführt.

Im Rahmen dieses Dokuments wurden folgende Veröffentlichungen zitiert:

- 5 [1] DIN 25424, Teil 1: Fehlerbaumanalyse: Methode und
Bildzeichen; Teil 2: Handrechenverfahren zur Auswertung
eines Fehlerbaums

- 10 [2] J. Dekleer und B. C. Williams, Diagnosing Multiple
Faults, , Elsevier Science Publishers, Artificial
Intelligence, Vol. 32, 1987, S. 97 -130

- 15 [3] K. Nökel, K. Winkelmann, Controller Synthesis and Veri-
fication: A Case Study, in: C. Leverentz, T. Lindner,
Formal Development of Reactive Systems, Lecture Notes in
Computer Science (Nr. 891), Springer 1995, S. 55 - 74

- 20 [4] J. Burch et al, Symbolic Model Checking for Sequential
Circuit Verification, IEEE Trans. on Computer-Aided
Design of Integrated Circuits and Systems, Vol. 13,
Nr. 4, S. 401 - 424, April 1994

- [5] R. Bryant, Symbolic Boolean Manipulation with Ordered
Binary-Decision Diagrams, ACM Computing Survey, Vol. 24,
Nr. 3, S. 293 - 318, September 1992

Patentansprüche

1. Verfahren zur rechnergestützten Fehleranalyse von Sensoren und/oder Aktoren in einem technischen System, welches in Form einer zustandsendlichen Beschreibung vorliegt, die Zustände des technischen Systems aufweist, durch einen Rechner,
 - a) bei dem für einen Fehler eines Sensors und/oder eines Aktors eine zustandsendliche Beschreibung des technischen Systems für den Fehlerfall ermittelt wird,
 - b) bei dem für das technische System eine erste Menge erreichbarer Zustände ermittelt wird,
 - c) bei dem für das fehlerbehaftete technische System eine zweite Menge erreichbarer Zustände ermittelt wird,
 - d) bei dem eine Differenzmenge aus der ersten Menge und der zweiten Menge gebildet wird,
 - e) bei dem Ergebniszustände aus der Differenzmenge ermittelt werden, die vorgebbaren Bedingungen genügen.
2. Verfahren nach Anspruch 1,
 - bei dem die Verfahrensschritte a) bis f) für alle möglichen Fehler von Sensoren und/oder Aktoren, die das technische System aufweist, durchgeführt werden.
3. Verfahren nach Anspruch 1 oder 2,
 - bei dem den Sensoren und/oder Aktoren Ausfallwahrscheinlichkeiten zugeordnet werden, und
 - bei dem die Fehleranalyse unter Berücksichtigung der Ausfallwahrscheinlichkeiten erfolgt.
4. Verfahren nach einem der Ansprüche 1 bis 3,
 - bei dem die Verfahrensschritte b) und c) nach dem Verfahren des Model Checking erfolgt.
5. Verfahren nach einem der Ansprüche 1 bis 4,
 - bei dem in dem Verfahren eine zustandsendliche Beschreibung eines von dem technischen System durchgeführten Prozesses berücksichtigt wird.

6. Verfahren nach einem der Ansprüche 1 bis 5,
bei dem die zustandsendliche Beschreibung durch einen endli-
chen Automaten realisiert wird.

5

7. Verfahren nach Anspruch 6,
bei dem die zustandsendliche Beschreibung durch einen endli-
chen Automaten in Form eines Binary Decision Diagrams (BDD)
realisiert wird.

10

8. Verwendung des Verfahrens nach einem der Ansprüche 1 bis 7
beim Rapid Prototyping des technischen Systems.

15

9. Verwendung des Verfahrens nach einem der Ansprüche 1 bis 7
im Rahmen der Fehlerdiagnose des technischen Systems.

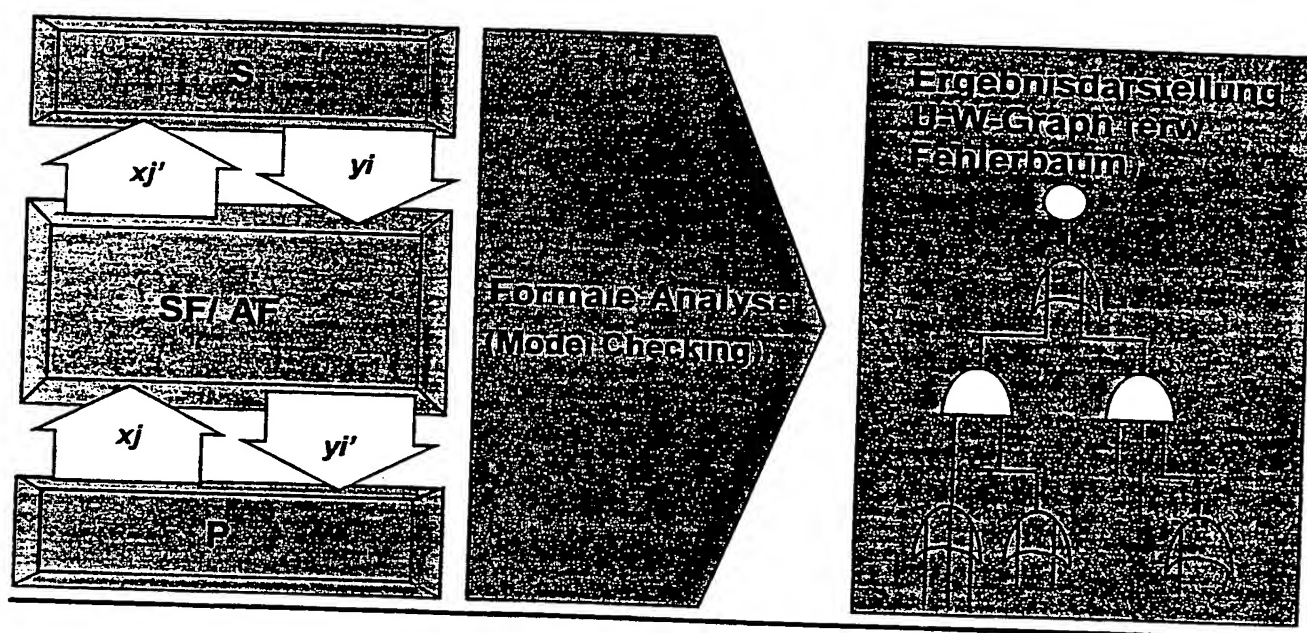
20

10. Verwendung des Verfahrens nach einem der Ansprüche 1 bis
7 zur Generierung kritischer Prüffälle für eine Inbetriebset-
zung und einen Systemtest des technischen Systems.

11. Verwendung des Verfahrens nach einem der Ansprüche 1 bis
7 zur präventiven Wartung des technischen Systems.

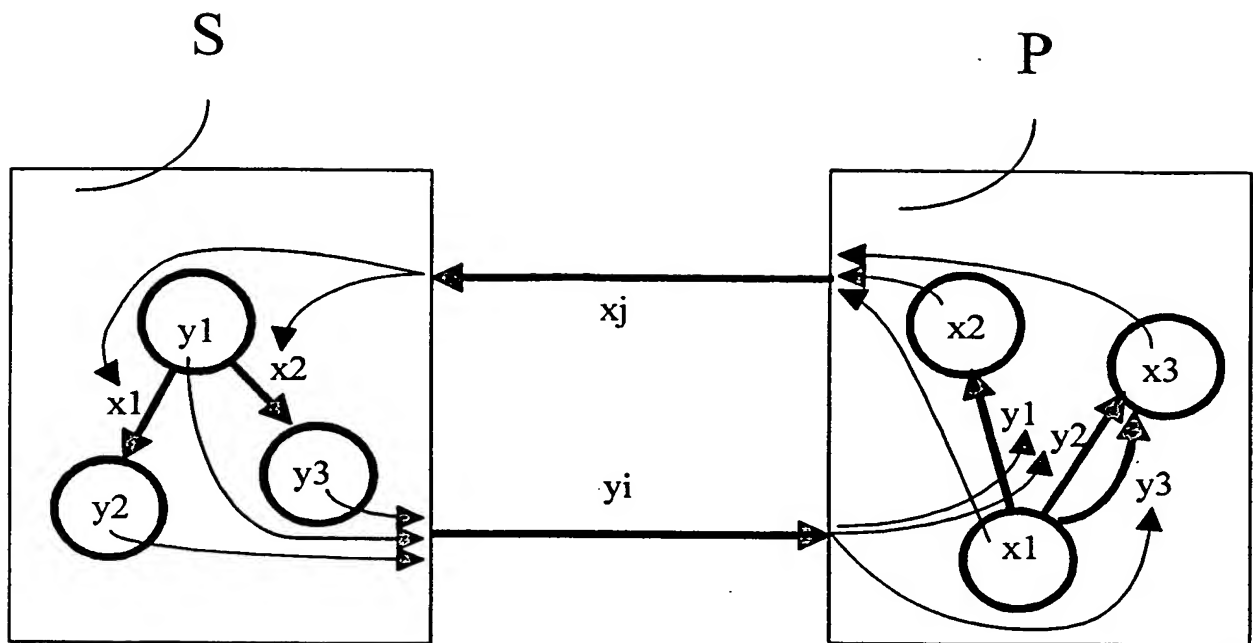
FIG 1

1/9



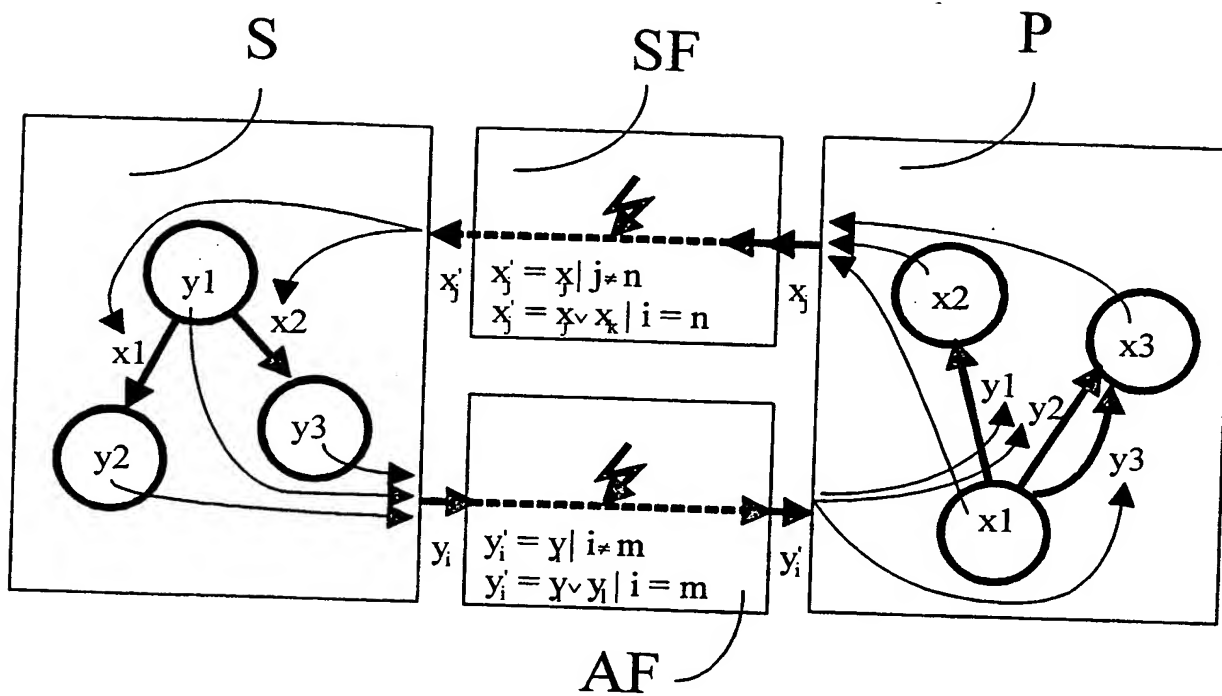
2/9

FIG 2



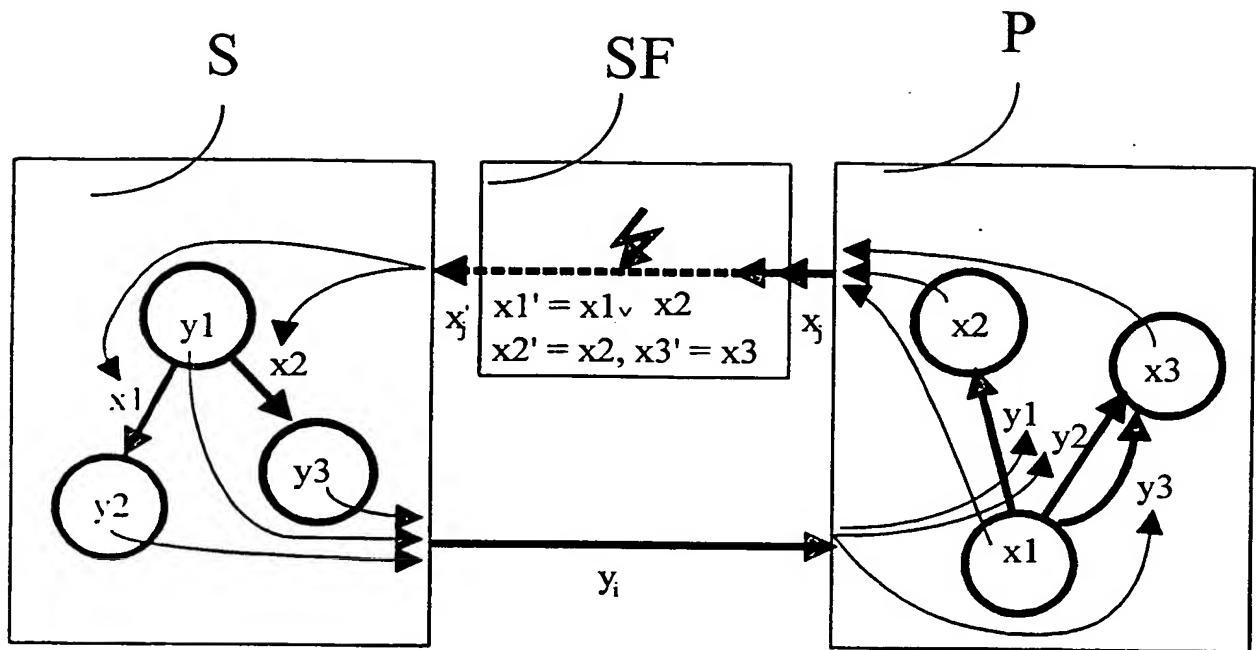
3/9

FIG 3



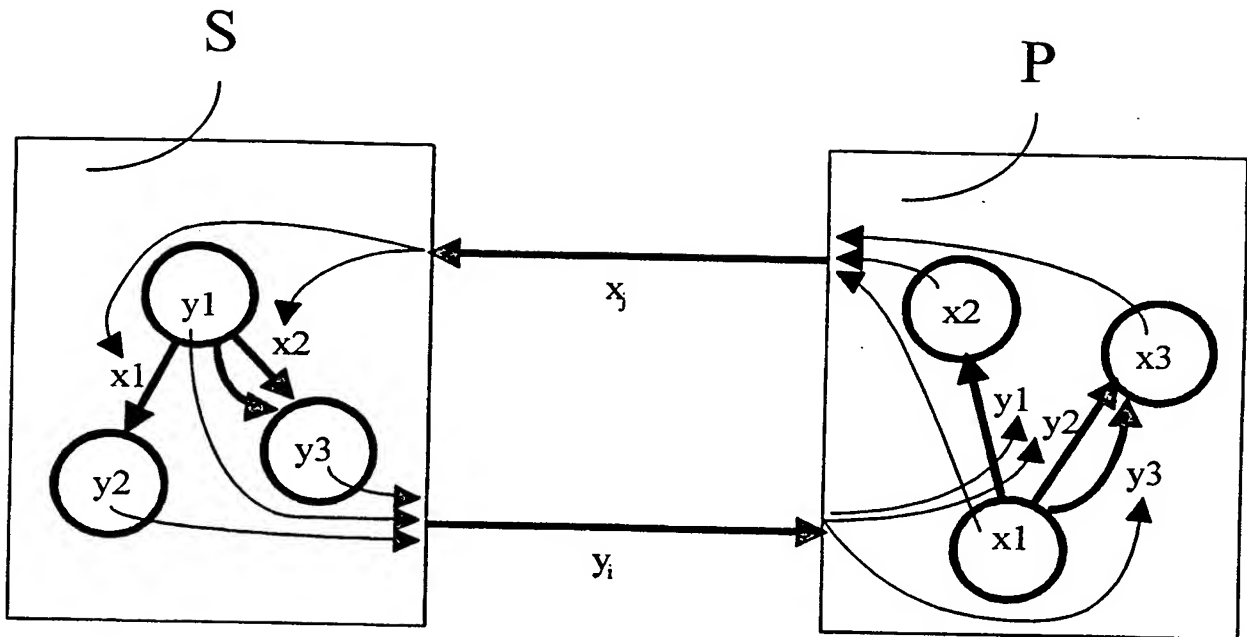
4/9

FIG 4



5/9

FIG 5



6/9

FIG 6

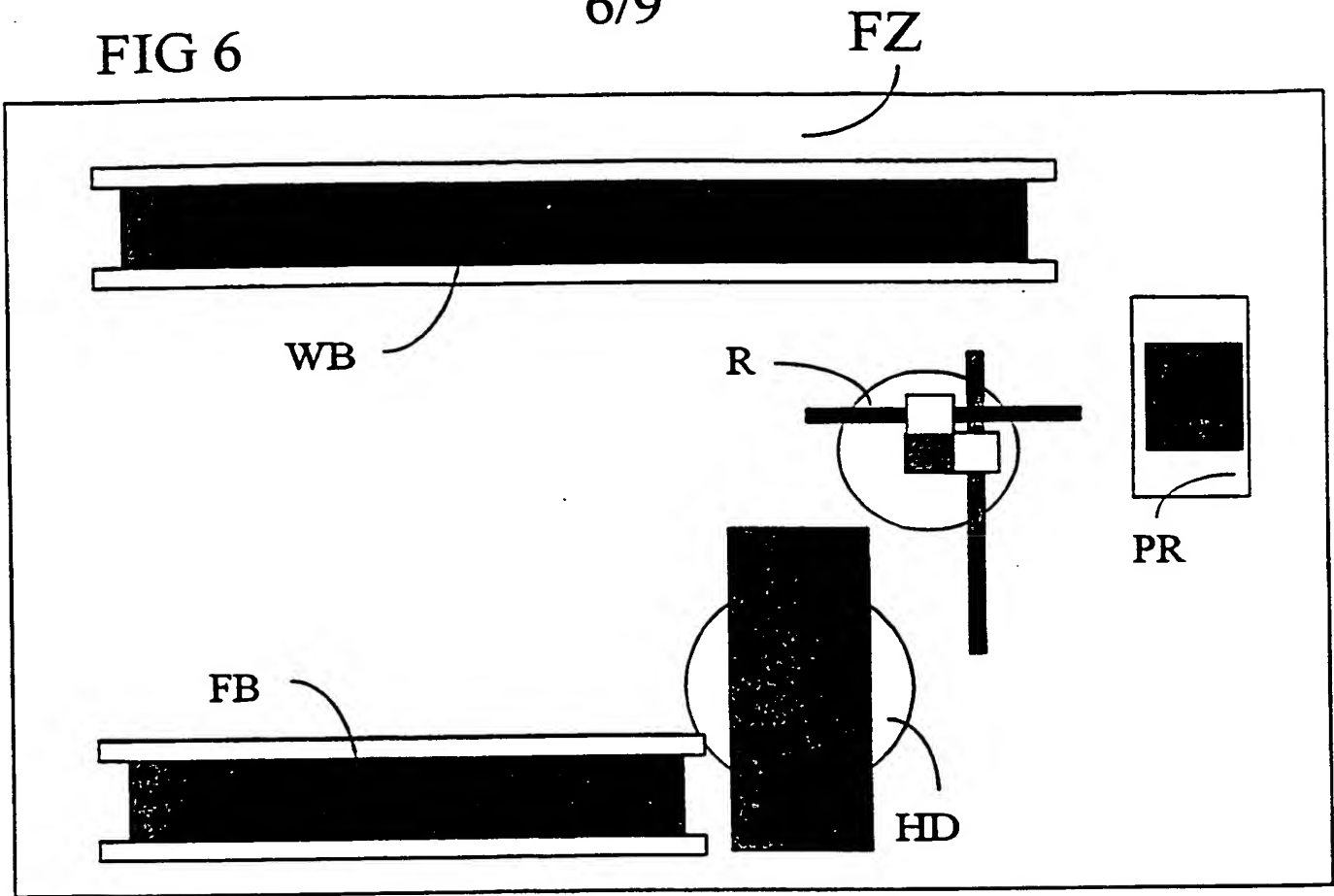
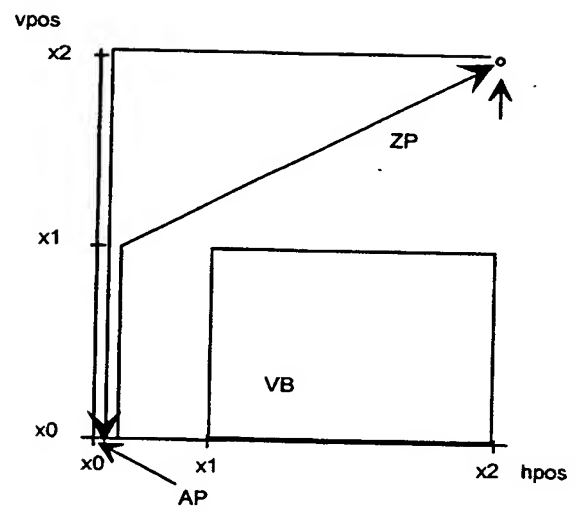


FIG 7

7/9



8/9

FIG 8

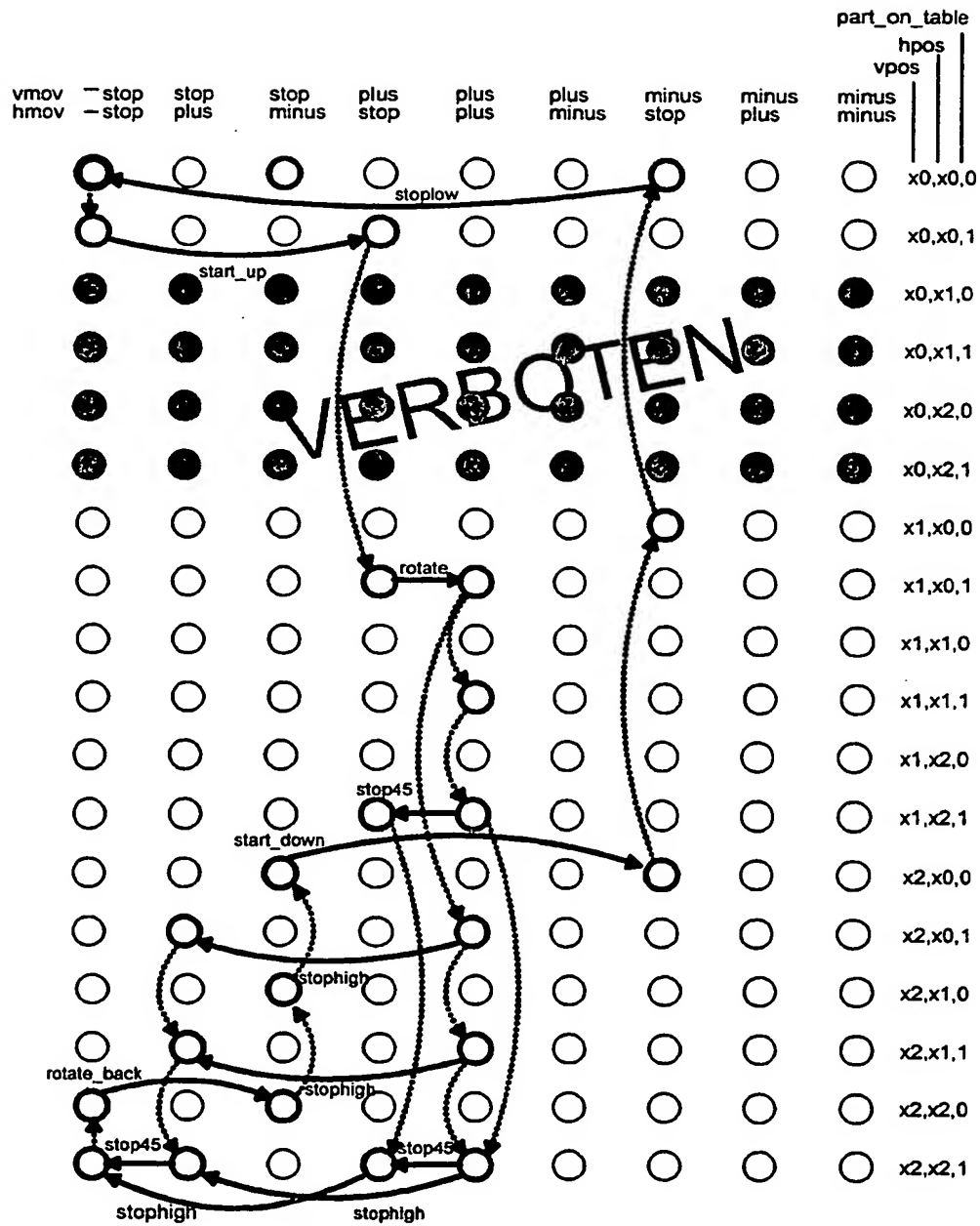
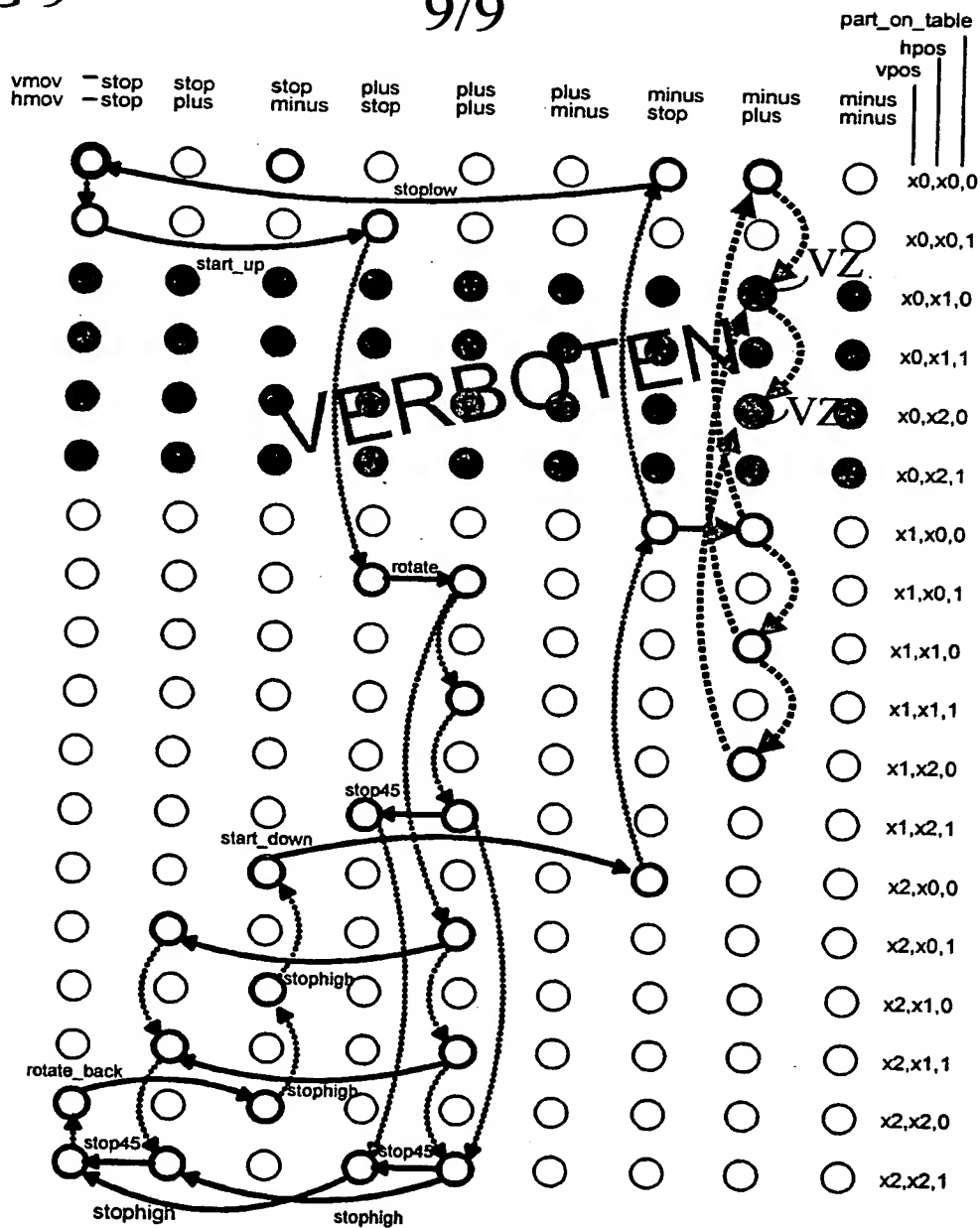


FIG 9

9/9



INTERNATIONAL SEARCH REPORT

International Application No

PCT/DE 98/00633

A. CLASSIFICATION OF SUBJECT MATTER
IPC 6 G05B19/042

According to International Patent Classification (IPC) or to both national classification and IPC

B. FIELDS SEARCHED

Minimum documentation searched (classification system followed by classification symbols)
IPC 6 G05B

Documentation searched other than minimum documentation to the extent that such documents are included in the fields searched

Electronic data base consulted during the international search (name of data base and, where practical, search terms used)

C. DOCUMENTS CONSIDERED TO BE RELEVANT

| Category * | Citation of document, with indication, where appropriate, of the relevant passages | Relevant to claim No. |
|------------|---|-----------------------|
| A | EP 0 424 869 A (KOMATSU MFG CO LTD ;YAMATAKE HONEYWELL CO LTD (JP)) 2 May 1991 see column 3, line 22 - column 5, line 16; figures 1-7 | 1-3,9 |
| A | EP 0 352 759 B (BAYERISCHE MOTOREN WERKE AG) 17 January 1996 see column 4, line 40 - column 9, line 31; figures 1,2 | 1,2,9 |

☒ Further documents are listed in the continuation of box C.

☒ Patent family members are listed in annex.

* Special categories of cited documents :

"A" document defining the general state of the art which is not considered to be of particular relevance

"E" earlier document but published on or after the international filing date

"L" document which may throw doubts on priority claim(s) or which is cited to establish the publication date of another citation or other special reason (as specified)

"O" document referring to an oral disclosure, use, exhibition or other means

"P" document published prior to the international filing date but later than the priority date claimed

"T" later document published after the international filing date or priority date and not in conflict with the application but cited to understand the principle or theory underlying the invention

"X" document of particular relevance; the claimed invention cannot be considered novel or cannot be considered to involve an inventive step when the document is taken alone

"Y" document of particular relevance; the claimed invention cannot be considered to involve an inventive step when the document is combined with one or more other such documents, such combination being obvious to a person skilled in the art.

"&" document member of the same patent family

Date of the actual completion of the international search

17 August 1998

Date of mailing of the international search report

21/08/1998

Name and mailing address of the ISA

European Patent Office, P.B. 5818 Patentlaan 2
NL - 2280 HV Rijswijk
Tel. (+31-70) 340-2040, Tx. 31 651 epo nl,
Fax: (+31-70) 340-3016

Authorized officer

Tran-Tien, T

INTERNATIONAL SEARCH REPORT

International Application No

PCT/DE 98/00633

C.(Continuation) DOCUMENTS CONSIDERED TO BE RELEVANT

| Category * | Citation of document, with indication, where appropriate, of the relevant passages | Relevant to claim No. |
|------------|---|-----------------------|
| A | BURCH J R ET AL: "SYMBOLIC MODEL CHECKING FOR SEQUENTIAL CIRCUIT VERIFICATION" 1 April 1994 , IEEE TRANSACTIONS ON COMPUTER AIDED DESIGN OF INTEGRATED CIRCUITS AND SYSTEMS, VOL. 13, NR. 4, PAGE(S) 401 - 424 XP000453301 cited in the application see the whole document | 1-11 |
| A | ENDERS R ET AL: "GENERATING BDDS FOR SYMBOLIC MODEL CHECKING IN CCS" 1 January 1991 , COMPUTER AIDED VERIFICATION 3RD. AALBORG, DENMARK, JULY 1-4, 1991, PAGE(S) 203 - 213 XP000350630 see the whole document | 1-7 |
| A | EP 0 580 663 B (SIEMENS AG) 4 January 1995 see column 2, line 48 - column 11, line 25; figure 1 | 1,4,6 |
| A | EP 0 685 792 A (AT & T CORP) 6 December 1995 see abstract | 1,4 |

INTERNATIONAL SEARCH REPORT

Information on patent family members

International Application No

PCT/DE 98/00633

| Patent document cited in search report | Publication date | Patent family member(s) | Publication date |
|---|---------------------|---|--|
| EP 0424869 A | 02-05-1991 | JP 2110034 C JP 3137518 A JP 8020284 B | 21-11-1996 12-06-1991 04-03-1996 |
| EP 0352759 B | 31-01-1990 | DE 3825280 A DE 58909572 D EP 0352759 A ES 2081819 T JP 2105201 A JP 2769363 B US 5107425 A | 01-02-1990 29-02-1996 31-01-1990 16-03-1996 17-04-1990 25-06-1998 21-04-1992 |
| EP 0580663 B | 02-02-1994 | DE 59201155 D WO 9218944 A EP 0580663 A US 5491639 A | 16-02-1995 29-10-1992 02-02-1994 13-02-1996 |
| EP 0685792 A | 06-12-1995 | CA 2147536 A JP 7334566 A US 5615137 A | 02-12-1995 22-12-1995 25-03-1997 |

A. KLASSIFIZIERUNG DES ANMELDUNGSGEGENSTANDES
IPK 6 G05B19/042

Nach der Internationalen Patentklassifikation (IPK) oder nach der nationalen Klassifikation und der IPK

B. RECHERCHIÉTE GEBIETE

Recherchierter Mindestprüfstoff (Klassifikationssystem und Klassifikationssymbole)
IPK 6 G05B

Recherchierte aber nicht zum Mindestprüfstoff gehörende Veröffentlichungen, soweit diese unter die recherchierten Gebiete fallen

Während der internationalen Recherche konsultierte elektronische Datenbank (Name der Datenbank und evtl. verwendete Suchbegriffe)

C. ALS WESENTLICH ANGESEHENE UNTERLAGEN

| Kategorie* | Bezeichnung der Veröffentlichung, soweit erforderlich unter Angabe der in Betracht kommenden Teile | Betr. Anspruch Nr. |
|------------|---|--------------------|
| A | EP 0 424 869 A (KOMATSU MFG CO LTD ;YAMATAKE HONEYWELL CO LTD (JP)) 2. Mai 1991 siehe Spalte 3, Zeile 22 - Spalte 5, Zeile 16; Abbildungen 1-7 --- | 1-3,9 |
| A | EP 0 352 759 B (BAYERISCHE MOTOREN WERKE AG) 17. Januar 1996 siehe Spalte 4, Zeile 40 - Spalte 9, Zeile 31; Abbildungen 1,2 --- -/-- | 1,2,9 |

☒ Weitere Veröffentlichungen sind der Fortsetzung von Feld C zu entnehmen

☒ Siehe Anhang Patentfamilie

* Besondere Kategorien von angegebenen Veröffentlichungen :

"A" Veröffentlichung, die den allgemeinen Stand der Technik definiert, aber nicht als besonders bedeutsam anzusehen ist

"E" älteres Dokument, das jedoch erst am oder nach dem internationalen Anmeldedatum veröffentlicht worden ist

"L" Veröffentlichung, die geeignet ist, einen Prioritätsanspruch zweifelhaft erscheinen zu lassen, oder durch die das Veröffentlichungsdatum einer anderen im Recherchenbericht genannten Veröffentlichung belegt werden soll oder die aus einem anderen besonderen Grund angegeben ist (wie ausgeführt)

"O" Veröffentlichung, die sich auf eine mündliche Offenbarung, eine Benutzung, eine Ausstellung oder andere Maßnahmen bezieht

"P" Veröffentlichung, die vor dem internationalen Anmeldedatum, aber nach dem beanspruchten Prioritätsdatum veröffentlicht worden ist

"T" Spätere Veröffentlichung, die nach dem internationalen Anmeldedatum oder dem Prioritätsdatum veröffentlicht worden ist und mit der Anmeldung nicht kollidiert, sondern nur zum Verständnis des der Erfindung zugrundeliegenden Prinzips oder der ihr zugrundeliegenden Theorie angegeben ist

"X" Veröffentlichung von besonderer Bedeutung; die beanspruchte Erfindung kann allein aufgrund dieser Veröffentlichung nicht als neu oder auf erfinderischer Tätigkeit beruhend betrachtet werden

"Y" Veröffentlichung von besonderer Bedeutung; die beanspruchte Erfindung kann nicht als auf erfinderischer Tätigkeit beruhend betrachtet werden, wenn die Veröffentlichung mit einer oder mehreren anderen Veröffentlichungen dieser Kategorie in Verbindung gebracht wird und diese Verbindung für einen Fachmann naheliegend ist

"&" Veröffentlichung, die Mitglied derselben Patentfamilie ist

Datum des Abschlusses der internationalen Recherche

17. August 1998

Absenddatum des internationalen Recherchenberichts

21/08/1998

Name und Postanschrift der Internationalen Recherchenbehörde
Europäisches Patentamt, P.B. 5818 Patentlaan 2
NL - 2280 HV Rijswijk
Tel. (+31-70) 340-2040, Tx. 31 651 epo nl,
Fax: (+31-70) 340-3016

Bevollmächtigter Bediensteter

Tran-Tien, T

C.(Fortsetzung) ALS WESENTLICH ANGESEHENE UNTERLAGEN

| Kategorie* | Bezeichnung der Veröffentlichung, soweit erforderlich unter Angabe der in Betracht kommenden Teile | Betr.-Anspruch Nr. |
|------------|--|--------------------|
| A | BURCH J R ET AL: "SYMBOLIC MODEL CHECKING FOR SEQUENTIAL CIRCUIT VERIFICATION" 1. April 1994 , IEEE TRANSACTIONS ON COMPUTER AIDED DESIGN OF INTEGRATED CIRCUITS AND SYSTEMS, VOL. 13, NR. 4, PAGE(S) 401 - 424 XP000453301 in der Anmeldung erwähnt siehe das ganze Dokument ---- | 1-11 |
| A | ENDERS R ET AL: "GENERATING BDDS FOR SYMBOLIC MODEL CHECKING IN CCS" 1. Januar 1991 , COMPUTER AIDED VERIFICATION 3RD. AALBORG, DENMARK, JULY 1-4, 1991, PAGE(S) 203 - 213 XP000350630 siehe das ganze Dokument ---- | 1-7 |
| A | EP 0 580 663 B (SIEMENS AG) 4. Januar 1995 siehe Spalte 2, Zeile 48 - Spalte 11, Zeile 25; Abbildung 1 ---- | 1,4,6 |
| A | EP 0 685 792 A (AT & T CORP) 6. Dezember 1995 siehe Zusammenfassung ----- | 1,4 |

INTERNATIONALER RECHERCHENBERICHT

Angaben zu Veröffentlichungen, die zur selben Patentfamilie gehören

Internationales Aktenzeichen

PCT/DE 98/00633

| Im Recherchenbericht angeführtes Patentdokument | Datum der Veröffentlichung | Mitglied(er) der Patentfamilie | Datum der Veröffentlichung |
|--|-------------------------------|-----------------------------------|-------------------------------|
| EP 0424869 A | 02-05-1991 | JP 2110034 C | 21-11-1996 |
| | | JP 3137518 A | 12-06-1991 |
| | | JP 8020284 B | 04-03-1996 |
| EP 0352759 B | 31-01-1990 | DE 3825280 A | 01-02-1990 |
| | | DE 58909572 D | 29-02-1996 |
| | | EP 0352759 A | 31-01-1990 |
| | | ES 2081819 T | 16-03-1996 |
| | | JP 2105201 A | 17-04-1990 |
| | | JP 2769363 B | 25-06-1998 |
| | | US 5107425 A | 21-04-1992 |
| EP 0580663 B | 02-02-1994 | DE 59201155 D | 16-02-1995 |
| | | WO 9218944 A | 29-10-1992 |
| | | EP 0580663 A | 02-02-1994 |
| | | US 5491639 A | 13-02-1996 |
| EP 0685792 A | 06-12-1995 | CA 2147536 A | 02-12-1995 |
| | | JP 7334566 A | 22-12-1995 |
| | | US 5615137 A | 25-03-1997 |